

# АНАЛИЗ АНИЗОТРОПИИ КОСМИЧЕСКИХ ЛУЧЕЙ С ЭНЕРГИЕЙ ОКОЛО $10^{17}$ ЭВ ПО ДАННЫМ ЯКУТСКОЙ УСТАНОВКИ ШИРОКИХ АТМОСФЕРНЫХ ЛИВНЕЙ

*М. И. Правдин\*, А. А. Иванов, А. Д. Красильников,  
А. А. Михайлов, И. Е. Слепцов*

*Институт космофизических исследований и аэрономии  
Сибирского отделения Российской академии наук  
677891, Якутск, Россия*

Поступила в редакцию 7 декабря 2000 г.

В работе проводится гармонический анализ направлений прихода частиц космических лучей с энергией около  $10^{17}$  эВ вблизи порога регистрации Якутской установки широких атмосферных ливней. Предлагается методика определения вклада в наблюдаемую анизотропию, возникающего из-за неоднородности условий обзора установкой небесной сферы и сезонных вариаций частоты широких атмосферных ливней. Учет этих факторов приводит к существенному уменьшению амплитуды, характеризующей степень анизотропии первичных космических лучей. Амплитуда первой гармоники по прямому восхождению равна  $(0.45 \pm 0.55)\%$  и показывает, что при  $10^{17}$  эВ не наблюдается статистически значимая анизотропия первичного излучения.

PACS: 96.40.Pq, 98.70.Sa

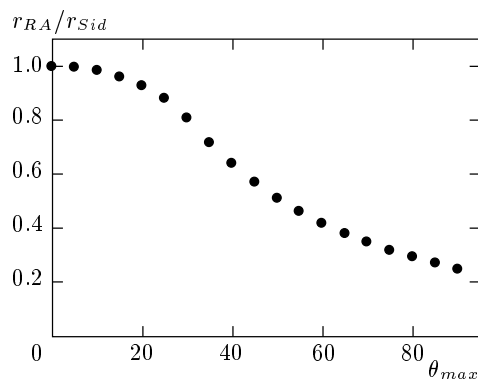
## 1. ВВЕДЕНИЕ

Определение степени анизотропии первичного потока и ее зависимости от энергии  $E_0$  имеет важное значение для решения проблемы происхождения космических лучей. В области  $10^{17}$  эВ и выше характеристики космического излучения исследуются с помощью установок, которые регистрируют широкие атмосферные ливни из вторичных частиц, образующиеся при попадании первичных частиц таких энергий в атмосферу Земли. На установках по регистрации широких атмосферных ливней одним из основных методов для оценки анизотропии является гармонический анализ распределения направлений прихода ливней по прямому восхождению [1]. В предыдущей работе [2] по данным Якутской установки [3] за период 1982–1995 гг. в интервале энергий  $3 \cdot 10^{16} < E_0 < 3 \cdot 10^{17}$  эВ для прямого восхождения была получена статистически значимая амплитуда первой гармоники  $r_1 = (1.35 \pm 0.36)\%$  и фаза  $\varphi_1 = 123^\circ \pm 15^\circ$ . Ранее в работе [4] на установке

Хавера Парк приблизительно в этом же интервале энергий было получено значение  $r_1 = (1.7 \pm 0.4)\%$ , но фаза  $\varphi_1 = 218^\circ \pm 14^\circ$  значительно отличается от результата [2]. Как видно из этих данных, наблюдаемая амплитуда при таких энергиях мала и для получения истинной анизотропии космических лучей необходимо проверить, насколько существенны вклады аппаратурного и атмосферного происхождения. В предыдущей нашей работе [2] не анализировалось влияние сезонных изменений атмосферных условий.

В процессе длительной эксплуатации установки возникают остановки регистрации по техническим и технологическим причинам, может также изменяться эффективная площадь сбора событий из-за временного отказа отдельных детекторов, участвующих в отборе ливней. Это может привести к неоднородному обзору неба для разных моментов времени как солнечных, так и звездных суток. Кроме того, для Якутской установки и аналогичных ей энергии  $E_0 \approx 10^{17}$  эВ является пороговой и на частоту регистрации ливневых событий оказывают влияние атмосферные условия, которые имеют суточный и

\*E-mail: m.i.pravdin@ikfia.ysn.ru



**Рис. 1.** Зависимость отношения амплитуды по прямому восхождению  $r_{RA}$  к амплитуде по звездному времени  $r_{Sid}$  искусственного происхождения от  $\theta_{max}$  — предельного зенитного угла используемых в анализе событий для широты Якутской установки широких атмосферных ливней. В расчете предполагается равномерное распределение регистрируемых ливней по сфере

сезонные циклы. Так как в разные моменты времени звездных суток условия обзора направлений для разных значений прямого восхождения не совпадают (если установка не на полюсе), неоднородность обзора неба и изменения атмосферных условий могут внести существенный вклад в результаты измерений, искажающий истинную анизотропию первичного излучения. Степень их влияния на результаты анализа в разных экспериментах может различаться и определяется многими факторами — климатическими условиями, самой триггерной системой установки, эффективная площадь которой зависит от температуры и давления, критериями отбора событий, возможными систематическими ошибками при определении параметров и энергии ливня для разных атмосферных условий, а также частотой кратковременных отключений установки в определенные моменты суток. На рис. 1 для иллюстрации приведены результаты расчета зависимости отношения амплитуды первой гармоники по прямому восхождению к амплитуде по звездному времени, искусственно возникающей из-за условий наблюдения, от максимального зенитного угла используемых в анализе событий для широты Якутской установки. В расчете принималось, что регистрируемые ливни распределены равномерно по сфере.

Для исследования анизотропии космических лучей по данным установок, на которых не измеряется направление прихода в индивидуальных событиях ( $E_0 < 10^{14}$  эВ), проводится анализ распределения по

звездному времени. Для того чтобы учесть вклад вариаций в частоту регистрируемых событий, связанных с суточным и сезонным циклами, используется распределение этих же событий по искусственному «антизвездному» времени по методике, предложенной в работе [5]. Эта методика применима и для анализа ливней, в которых направление либо определено с плохой точностью, либо вообще не определяется из-за флюктуаций времени прихода отдельных частиц ливня, что происходит вблизи порога регистрации. В то же время данные о вкладе сезонных вариаций, получаемые по антивзвездному времени, можно использовать для оценки степени искажения вектора анизотропии по прямому восхождению. В настоящей работе мы применили методику анализа по звездному времени для данных Якутской установки вблизи  $E = 10^{17}$  эВ и сравнили с результатом, получаемым по прямому восхождению для одной и той же выборки. При этом изучалась степень влияния на получаемые результаты вышеупомянутых факторов — неоднородного обзора неба и атмосферных вариаций.

## 2. ОТБОР СОБЫТИЙ

На Якутской установке регистрация ливней происходит при совпадении сигналов от трех соседних станций, образующих треугольник. В схеме отбора заложено два типа сочетаний. В один входят станции, образующие сетку из треугольников со стороной 500 м (Триггер-500), в другой — со стороной 1000 м (Триггер-1000). Порог регистрации для первого отбора соответствует ливням с энергией  $(3-5) \cdot 10^{16}$  эВ, а для второго — ливням с энергией около  $10^{18}$  эВ. Данные для всех событий записывались на первичные носители, тип которых с течением времени менялся. До лета 1995 г. при начальной обработке формировалась рабочая база данных, в которую заносились ливни по определенным критериям. В качестве критерия использовалось требование, чтобы на трех станциях зарегистрированная плотность ливневых частиц превышала определенное пороговое значение. В разные годы критерии отбора несколько различались. С осени 1982 г. по лето 1995 г. пороговая плотность была равна  $0.8 \text{ м}^{-2}$  (больше трех частиц на всю площадь счетчиков в станции). С осени 1995 г. обработка и накопление организованы так, что для анализа возможно использовать зарегистрированные события в полном объеме.

В данной работе, как и в предыдущей [2], были

привлечены события за период с 1982 по 1995 гг. в диапазоне энергий от  $3 \cdot 10^{16}$  эВ до  $3 \cdot 10^{17}$  эВ с зенитным углом  $\theta < 60^\circ$ , которые удовлетворяют однородному критерию, т. е. имеются три станции с плотностью выше  $0.8 \text{ м}^{-2}$ . Внутри каждого отдельного года использовались данные, полученные за ноябрь — май месяцы. Но, в отличие от работы [2], в каждом периоде была использована эффективная площадь установки, контролируемая надежно работающими станциями наблюдения. Из всего массива данных этим критериям отвечают 135566 событий, что на 10% меньше, чем в [2]. Средняя энергия отобранных ливней равна  $1.6 \cdot 10^{17}$  эВ (регистрируемая с максимальной частотой энергия —  $10^{17}$  эВ), средний зенитный угол равен  $24.2^\circ$ . Для этой выборки проведен гармонический анализ распределения событий как по солнечному, звездному и антизвездному временам, так и по прямому восхождению (RA).

### 3. УЧЕТ НЕОДНОРОДНОСТИ УСЛОВИЙ ОБЗОРА НЕБА УСТАНОВКОЙ

Отключение установки по техническим и технологическим причинам чаще происходит днем, поэтому возможно неоднородное распределение таких отрезков по времени суток. На неоднородности обзора неба сказывается также изменение эффективной площади из-за временного выхода из строя отдельных станций наблюдения. На Якутской установке регулярно составляется список последовательных периодов, в которые отмечены моменты включения и отключения регистрации, а также дается информация о реально работающих в данный период станциях наблюдения. Любое изменение в конфигурации триггерной системы фиксируется как начало нового периода, даже если отключение установки не происходило. Для ливней, регистрируемых вблизи порога, эффективная площадь пропорциональна количеству треугольников в Триггере-500, реально отбирающих события. Чтобы определить степень относительной неоднородности обзора неба за полный срок выборки, для каждой отдельной минуты солнечных суток по всем дням регистрации подсчитывалось суммарное количество триггерных треугольников, которые в данную минуту отбирали события. Полученные значения нормировались на среднее по всем минутам. Из этих же периодов по солнечному времени легко получить аналогичные распределения по минутам звездного и антизвездного времени.

Неоднородность в обзоре по звездному време-

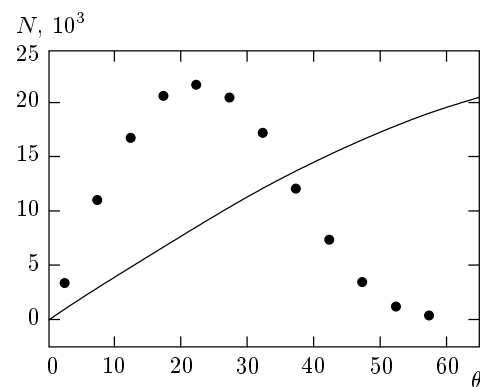


Рис. 2. Распределение ливней в анализируемой выборке по зенитному углу  $\theta$ . Сплошная линия соответствует равномерному по небесной сфере распределению

ни приводит к неодинаковым условиям наблюдения для разных значений прямого восхождения, которые зависят от распределения по зенитному углу анализируемых событий и широты, на которой расположена установка. Для определения условий обзора неба по RA мы сначала получили зенитно-угловое распределение ливней. Это распределение показано на рис. 2. В расчете неоднородности обзора по RA сначала при фиксированном зенитном угле  $\theta$  и фиксированном моменте звездного времени  $t_S$  определялся вклад для всех возможных значений RA при равномерном изменении азимута от 0 до  $2\pi$ . Величина этого вклада пропорциональна значению в относительном распределении по звездному времени для момента  $t_S$  умноженному на количество ливней с данным  $\theta$ . Для получения полного распределения проводилось суммирование таких вкладов по всем  $\theta$  и  $t_S$  в каждом интервале по RA.

Для учета неоднородности обзора неба при определении параметров вектора анизотропии число событий в определенном минутном интервале времени или RA нормировалось на соответствующее значение в относительном распределении условий обзора.

В двух начальных колонках табл. 1 приводятся параметры векторов первой гармоники, характеризующие относительные распределения обзора неба для разных переменных, полученные из периодов работы установки за все время анализируемой выборки. Видно, что неоднородность значительна и амплитуда равна 1.74% даже для прямого восхождения. Если рассмотреть эти распределения отдельно по годам, то наблюдаются вариации как по амплитуде, так и по фазе. В разные годы количество триггерных треугольников менялось, поэтому мы при даль-

Таблица 1. Параметры первой гармоники для разных векторов (всего 135566 событий)

Вектор	Условия обзора неба		Распределение событий			
			без учета обзора		с учетом обзора	
	$r, \%$	$\varphi, \text{ час}$	$r, \%$	$\varphi, \text{ час}$	$r, \%$	$\varphi, \text{ час}$
Солнечный	4.05	22.78	$6.92 \pm 0.39$	$22.75 \pm 0.22$	$2.72 \pm 0.39$	$22.48 \pm 0.55$
Звездный	2.30	8.98	$3.93 \pm 0.39$	$9.00 \pm 0.38$	$1.62 \pm 0.39$	$10.40 \pm 0.92$
Антизвездный	2.15	13.34	$3.50 \pm 0.39$	$12.44 \pm 0.43$	$1.41 \pm 0.39$	$10.82 \pm 1.06$
RA	1.74	8.11	$2.89 \pm 0.39$	$9.35 \pm 0.52$	$1.36 \pm 0.39$	$10.97 \pm 1.10$
Звездный- <b>VAR</b>			$0.43 \pm 0.55$	$8.51 \pm 4.89$	$0.24 \pm 0.55$	$11.96 \pm 8.75$
RA- <b>VAR</b> (RA)					$0.45 \pm 0.55$	$12.79 \pm 4.67$

Таблица 2. Изменение параметров первой гармоники для разных векторов в различные сезоны года

Месяцы	Число событий	Солнечный вектор			Звездный вектор		Вектор по RA	
		$r, \%$	$\varphi, \text{ час}$	$\varphi_S, \text{ час}$	$r, \%$	$\varphi, \text{ час}$	$r, \%$	$\varphi, \text{ час}$
11	14832	5.20	21.35	1.0	4.93	1.12	2.60	1.40
12–01	37605	1.78	1.18	7.9	2.00	8.17	1.12	6.08
02–03	40039	3.15	22.09	8.7	2.72	9.16	2.21	10.12
04–05	43090	3.07	22.66	13.3	3.02	13.03	2.83	12.74

нейшем анализе использовали индивидуальные для каждого года поправки.

#### 4. РЕЗУЛЬТАТЫ АНАЛИЗА

Полученные амплитуды ( $r$ ) в процентах и фазы ( $\varphi$ ) в часах для векторов первой гармоники по солнечному, звездному, антизвездному временам и прямому восхождению приведены в табл. 1 как с учетом влияния неоднородности обзора небесной сферы установкой, так и без него. Из этих результатов видно, что, во-первых, неоднородность условий наблюдения для разного времени суток за рассматриваемый период работы Якутской установки была значительной ( $\approx 4\%$ ) и ее учет существенно уменьшает амплитуду для всех переменных и, во-вторых, даже с учетом такой неоднородности для данной выборки остается значимая анизотропия с амплитудой ( $2.72 \pm 0.39\%$ ) по солнечному времени и значительное влияние сезонных вариаций, что видно по амплитуде антизвездного вектора ( $1.41 \pm 0.39\%$ ).

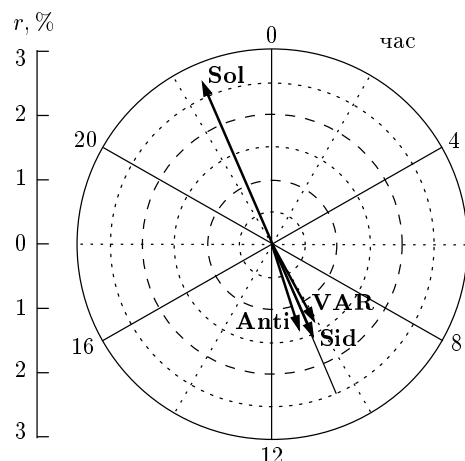
Вектор, возникающий из-за сезонных вариаций и

дающий вклад в наблюдаемый результат по звездному времени, обозначим **VAR**. Он зеркально симметричен антизвездному вектору относительно солнечного, т. е. равен антизвездному по модулю и имеет фазу

$$2 \cdot \varphi_{Sol} - \varphi_{Anti},$$

где  $\varphi_{Sol}$  — фаза солнечного вектора и  $\varphi_{Anti}$  — фаза для антизвездного вектора. В предпоследней строке табл. 1 приводится оценка анизотропии первичного излучения по звездному времени после вычитания вектора **VAR**. Амплитуда получилась меньше одной  $\sigma$  как без учета, так и с учетом неоднородного обзора неба. На рис. 3 приводится взаимное расположение всех векторов, полученных с учетом влияния неоднородного обзора неба.

Вклад сезонных вариаций в суммарный вектор по прямому восхождению **VAR(RA)** можно оценить так же, как рассчитывалось относительное распределение обзора неба по RA. В этом расчете используется тоже экспериментальное распределение ливней по зенитному углу, а вес неоднородности по звездному времени в момент  $t_S$  задается исходя из па-



**Рис. 3.** Взаимное расположение векторов анизотропии для разных переменных: **Sol** — солнечный вектор, **Sid** — звездный, **Anti** — антизвездный, **VAR** — вклад атмосферных вариаций в **Sid**

метров, полученных для вектора **VAR**. В последней строке табл. 1 приводится результат для прямого восхождения, полученный после вычитания рассчитанной атмосферной составляющей. Амплитуда также, как и в анализе по звездному времени, меньше  $\sigma$ .

Кроме того, для данной выборки мы провели аналогичный анализ по отдельным месяцам года. Результаты этого рассмотрения представлены в табл. 2, где приводятся наблюдаемые параметры с учетом неоднородности обзора неба. В колонке  $\varphi_S$  для солнечного вектора приводится фаза в звездном времени, которая соответствует солнечной фазе для середины данного сезона. Из этой таблицы видно, что фазы как звездного вектора, так и вектора по прямому восхождению для разных сезонов меняются в соответствии с изменением направления солнечного вектора в звездных координатах. Это подтверждает, что основной вклад в наблюдаемую амплитуду по RA дают сезонные вариации атмосферного происхождения. После учета всех факторов для данной выборки не наблюдается статистически значимой анизотропии первичного излучения при  $10^{17}$  эВ. В предыдущей работе [2] мы не учитывали вклад атмосферных вариаций, поэтому и получили значимую амплитуду.

В данный момент уточняется список периодов работы установки для последних лет и завершается

восстановление данных для всех событий до 1995 г., не попавших в рабочую базу из-за критериев отбора. Это даст возможность продолжить детальный анализ по полной выборке из более  $10^6$  событий, распределение которых по звездному времени можно использовать для оценки анизотропии вблизи  $10^{17}$  эВ.

## 5. ВЫВОДЫ

Полученные в данной работе результаты указывают, что при анализе данных для исследования анизотропии необходимо принимать во внимание неоднородность условий обзора неба, которая может возникать из-за кратковременных отключений установки или изменения ее эффективной площади. Кроме того, вблизи порога регистрации в наблюдаемый вектор по прямому восхождению вносит вклад сезонная вариация частоты событий атмосферного происхождения. Этот вклад можно оценить по данным для вектора по антизвездному времени и зенитно-угловому распределению ливней. Амплитуда первой гармоники по RA с учетом искажающих факторов получилась равной  $(0.45 \pm 0.55)\%$ , поэтому истинная анизотропия первичного излучения по данным Якутской установки в области  $10^{17}$  эВ с вероятностью 0.95 меньше  $1.25\%$ .

Работа выполнена при финансовой поддержке Российского фонда фундаментальных исследований (гранты № 98-02-17725 и 00-15-96787).

## ЛИТЕРАТУРА

1. J. Linsley, Phys. Rev. Lett. **34**, 1530 (1975).
2. А. А. Михайлов, М. И. Правдин, Письма в ЖЭТФ **66**, 305 (1997).
3. В. П. Артамонов, Б. Н. Афанасьев, А. В. Глушков и др., Известия РАН, сер. физическая **58**, 92 (1994).
4. R. N. Coy, J. Lloyd-Evans, M. Patel et al., Proc. 17th ICRC, Paris (1981), Vol. **9**, p. 183.
5. F. J. Farley and J. R. Storey, Proc. Phys. Soc. A **67**, 996 (1954).